

北大工学部 正員 三田地 利之
北大工学部 工藤 豊
北大大学院 木幡 行宏

1. まえがき 粘性土の圧密排水三軸試験では、圧密時間短縮のため供試体の側方に排水用の3紙を巻き側面排水で実験を行うことが多い。その場合、圧縮試験にみるとは、短冊状の3紙、伸張試験にみるとは、らせん状の3紙を使用し試験を行ったものが過去にいくつか報告されている¹⁾²⁾³⁾⁴⁾。しかし、これらの研究では側面排水における3紙形状の変化と伸張強度に及ぼす影響まで述べておらず、この種の問題に正面から取り組んだものは少ないようである。そこで、筆者らは、種々の異なる形状の3紙を使用して実施した等方圧密排水伸張試験結果を比較し、3紙形状が供試体の排水伸張せん断試験時の挙動に及ぼす影響について検討した。なお本実験結果の一部は土質工学会北海道支部技術研究発表会にみる所発表している⁵⁾。

2. 試料および実験方法 本実験で用いた試料は、北海道勇払郡早来町安平から採取した自然粘性土であり、 $LL=63\%$, $PI=30$, $GR=2.65$ である。採取した試料は、蒸留水を加え $420 \mu\text{m}$ の311を通した後、養生した。供試体は、このように準備した毛水状態の粘性土を十分攪拌し、真空で予圧密セルに導き、十分脱気して 80 kPa の鉛直応力で約2週間予圧密した後、水平方向に切り出し直徑 50 mm 高さ 120 mm の円柱状に成形したものである。実験は

図-1に示す5種類の3紙を供試体周面に巻きつけ、等方応力条件で所定の有効圧密圧力 ($200, 300, 400, 500 \text{ kPa}$) まで圧密し、その後、側圧一定、 $0.04\%/\text{min}$ のひずみ速度で非排水伸張せん断試験を行った。試験期間を通して室温は $20^\circ\text{C} \pm 0.5^\circ\text{C}$ に制御されている。本報告で用いた5種類の3紙を供試体周面に巻きつけた状態を示したもののが図-1である。図中に示すものは、 $\alpha = (\text{供試体に接触する3紙の面積}) / (\text{供試体の側面積})$ で表わされたものであり、以後、これを面積率と呼ぶこととする。

N-Typeの3紙は、通常の三軸圧縮試験で広く用いられているもので、鉛直方向に切れ目に入っている。これは、圧縮され、供試体が側方に変形するときに3紙による拘束を小さくするためにある。A-Typeの3紙は、らせん状になっているため、供試体が破壊に至るまでの間に鉛直方向に伸びても、3紙自体が飛揮す3張力の影響が軽減されると考えたものである。ただし、面積率が小さいために、粘土の透水係数と3紙との相対的大ささによれば、圧密中の間隙水压の消散にかかる時間が長くなるという短所がある⁵⁾。B-Type C-Typeの3紙は、A-Typeを改良したもので、面積率を大きくし、集水面積を広げようとしたものである。D-Typeの3紙は、切れ目をらせん状に入れたものであり、N-TypeおよびC-Typeの長所を取り入れたものである。比較した5種類の3紙は、すべて供試体周面に巻きつけであるため、供試体内部の水が排水される方向は供試体の半径方向となり、排水方向の条件は問っていない。すべて同一とみなされる。

3. 実験結果と考察 図-2 図-3は、軸差応力 $\sigma_3 = 0$ の圧密圧力 P_c で無次元化したひずみと軸ひずみの関係の二つを示したものである。図-2は、最終有効圧密圧力 $P_c = 200 \text{ kPa}$ のせん断結果を、それぞれのType Aの3紙で比較したものである。A~C-Typeの応力へひずみ曲線は、ほぼ同じ曲線形を描いており、特にN-Typeのそれは、上側に位置している。図-3は、 $P_c = 500 \text{ kPa}$ のせん断結果を比較したものである。応力へひずみ曲線の違いは、図-2と同様とは、ている。つまり、N-Typeの3紙の応力へひずみ曲線が、他のType Aより、

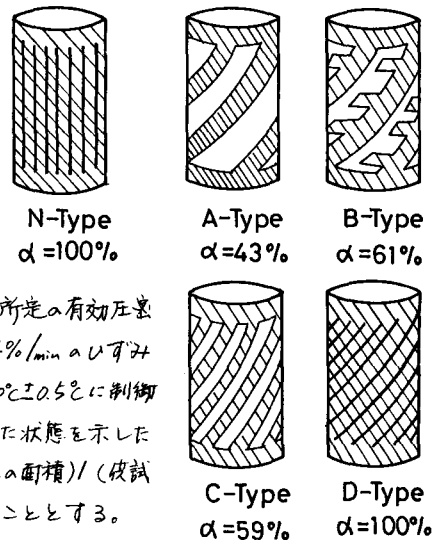


Fig. 1

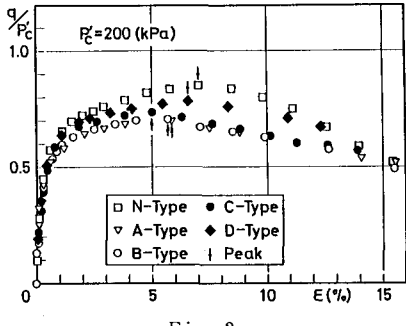


Fig. 2

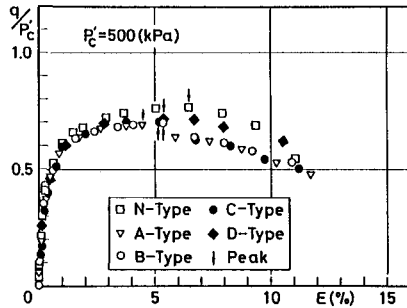


Fig. 3

上方に位置しており、さらに、D-Typeの曲線は、N-TypeとA~C-Typeの曲線の中間に位置している。すな後、ピーカーから少し引張前 ($E=4\%$ 前後) までは、全Typeが、同じ挙動を示すばかり、その後、N-Type、D-Typeの δ/δ_c が増大し、ピークに達している。すな後、全側面が3紙で覆われているTypeのものは、らせんTypeのものよりも強度が高く、N-TypeとD-Typeの比較では、らせん状の切れ目に入っているD-Typeの方が、N-Typeよりも強度が低下するといえることができる。図4は、 $(\delta)_m$ を破壊と考えたときの非排水せん断強度 $S_u (= \delta_{max}/2)$ と圧密圧力 P'_c の関係を表したものである。図2、図3でみられたように、N-Typeの3紙の場合の S_u は、A~C-Typeの場合の S_u に比べて17 kPa 程度高くなっているのがわかる。しかし、D-Typeについては、N-Typeの場合の S_u よりもむしろA~C-Typeの S_u の値に近いようである。すな後、3紙のみについての引張試験により、N-Type 257.9 kPa、A-Type 257.2 kPa の引張強度を得ている。図5は、破壊時 $\alpha(\sigma'_1 + \sigma'_3)_{f} \sim (\sigma'_1 - \sigma'_3)_{f}$ の関係を示したもので、 $S_u \sim P'_c$ の関係と同様の傾向がみられる。すな後、この図から算出した C'_p を、圧縮試験 (N-Type の3紙を用いている) による値とともに図中に示した。

以上のことから、3紙の形状が粘性土の伸張試験における応力へひずみへ強度特性に少しだらぬ影響を及ぼしつけることがわかる。しかし、3紙のTypeを変えると necking の生じる位置が異なることなどから、強度が低く測定されるからと言ふ。又、必ずしも、A~C-Typeの3紙を用いた場合に、供試体の真の応力へひずみ挙動を評価しているとは言い切れないが、強度に関する言えば、3紙自体の引張強度との対応などから考えて、より真値に近い値を測定可能だと言うことができる。したがつて、粘性土の圧密非排水三軸伸張試験を行う際、強度のみについて言えばN-Typeの3紙よりは、少なくともD-Typeのようない工夫をすべきだといふことができるよう。

4 あとがき 実験はらばにデータ整理と協力を得た本学卒業生曾原昌浩君(現日本IBM)に謝意を表す。

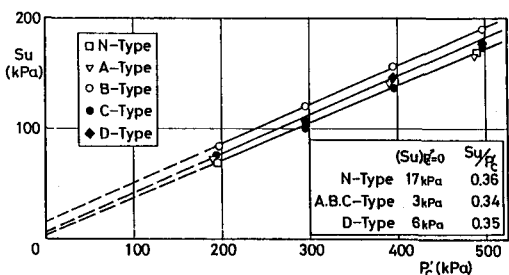


Fig. 4

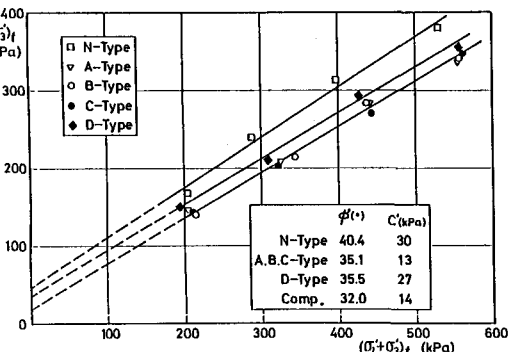


Fig. 5

(参考文献)

- 1) Triaxial Testing at the Norwegian Geotechnical Institute, N.G.I Publication No.134 (1981) (A.S.T.M. Geotechnical Testing Journal Vol 5 (1982))
- 2) 半田ら (1984): 土と基礎 Vol 32 No.11
- 3) 軽井ら (1974): 第9回国土質工学研究発表会
- 4) 中井 (1983): 土と基礎 Vol 31 No. 7
- 5) 三田地ら (1985): 土質工学会北海道支部技術報告集第25号